

**КРИСТАЛЛИЧЕСКАЯ И ЭЛЕКТРОННАЯ СТРУКТУРА
ЦЕПОЧЕЧНОГО СЕЛЕНОИОДИДА ВАНАДИЯ $[V_3Se_{12}I_2]I_3 \cdot 1/4I_2$**

Р.Р. Галиев¹, В.Ю. Комаров¹, С.Г. Козлова^{1,2}, С.Б. Артемкина¹, В.Е. Федоров¹

¹Институт неорганической химии им. А.В. Николаева СО РАН, Новосибирск, Россия

²Белгородский государственный технологический университет им. В.Г. Шухова, Белгород, Россия

E-mail: artem@niic.nsc.ru

Статья поступила
23.12.2024

С доработки
10.02.2025

Принята к публикации
15.02.2025

В реакции ванадия, селена и иода при 240 °C получен кристалл сelenоиодида ванадия $[V_3Se_{12}I_2]I_3 \cdot 1/4I_2$. По данным монокристального рентгеноструктурного анализа (пространственная группа $P2_1/c$, $a = 19.1162(7)$ Å, $b = 13.6844(5)$ Å, $c = 18.1423(6)$ Å, $\beta = 90.663(2)$ °, $V = 4745.6(3)$ Å³, $T = 150$ K, $Z = 8$) структура $[V_3Se_{12}I_2]I_3 \cdot 1/4I_2$ включает положительно заряженные цепи $[V_3Se_{12}I_2]_n^+$, составленные из линейных групп $\{V_3I(Se_2)_3(Se_2I)\}$ с расстояниями V···V 2.98 Å. Между собой эти группы соединены мостиковыми лигандами (по одному) μ -(Se₂) и μ -(Se₂I) с более длинным расстоянием V···V 3.74 Å. Особенностью структуры $[V_3Se_{12}I_2]I_3 \cdot 1/4I_2$ является лиганд Se–Se–I, который связывает атомы ванадия по типу μ -Se₂-κ²,κ¹. Рассчитанное значение ширины запрещенной зоны 0.78 эВ, что указывает на полупроводниковые свойства сelenоиодида ванадия. Обсуждаются кристаллическое строение $[V_3Se_{12}I_2]I_3 \cdot 1/4I_2$ и результаты расчета его электронной структуры и устойчивости.

DOI: 10.26902/JSC_id145539

EDN: BIQULU

Ключевые слова: ванадий, сelenоиодид, кристаллическая структура, монокристальный РСА, квантово-химические расчеты.

ВВЕДЕНИЕ

Халькогалогениды переходных металлов $M_xQ_yHal_z$ (M = переходный металл, Q = S, Se, Te, Hal = F, Cl, Br, I) известны для металлов IV–VII групп и различных сочетаний «халькоген – галоген». Их синтезу, строению и химическим свойствам посвящено несколько обзорных статей [1–3]. Благодаря способности металлов принимать разные степени окисления, а также разнообразию способов координации халькогенид- и галогенид-ионов [4, 5], среди халькогалогенидов металлов известны моноядерные комплексы [1], полиядерные и кластерные комплексы различной нуклеарности [6] с разнообразным строением и физико-химическими свойствами.

Для металлов V группы ниобия и тантала хорошо известны халькогалогениды с анизотропией физических свойств, которую связывают с их кристаллическим строением: чаще такие структуры включают условно бесконечные цепи или слои. Эти соединения востребованы как объекты изучения физических свойств. Например, цепочечный сelenоиодид $(Nb_4Se_{15}I_2)I_2$ из недавней публикации [7] обнаруживает полупроводниковые свойства с энергией активации 0.1 эВ. Хорошо известные фазы с анизотропией электро- или теплопроводности – $(NbSe_4)_{3,3}I$ [8],

($TaSe_4$) I [9, 10], $Nb_4Se_{17}I_4$ [11, 12] – узкозонные полупроводники демонстрируют транспорт волн зарядовой плотности. Тиобромид $V_4S_9Br_4$ [13] со слоистым строением – единственный хорошо задокументированный представитель халькогалогенидов ванадия, для которого изучены магнитные свойства [14], методом калориметрии и квантовых расчетов найден фазовый переход (~ 15 K) [15], локализованы инжектированные мюоны для оценки выравнивания спинов в магнитно-упорядоченной системе [16].

Соединения $[V_4OSe_8I_6]X$ ($X = I_2, 2I_2$, диметилпиразол) и $V_4OSe_8I_5$ – первые примеры O-центрированных тетраядерных халькогалогенидов ванадия с общим структурным фрагментом $[V_4OSe_8I_6]$ [17–19]. Они стали представителями семейства O-центрированных халькогалогенидов, известных для титана, ниobia и tantalа. Для цепочечных представителей этой группы $M_4OTe_9I_4$ ($M = Nb$ [20], Ta [21]) теоретически моделировано довольно редкое свойство быть одномерными сегнетоэлектриками [22]. Для набора элементов V—Se—I—O нам удалось синтезировать как молекулярные комплексы $[V_4OSe_8I_6]X$, так и цепочечный $V_4OSe_8I_5$, кроме того, показана возможность перехода молекулярного $[V_4OSe_8I_6]I_2$ в цепочечный $V_4OSe_8I_5$ при нагревании. В эксперименте по уточнению методики синтеза $[V_4OSe_8I_6]I_2$ мы получили кристалл новой фазы – тройного селеноиода ванадия с цепочечным строением $[V_3Se_{12}I_2]I_3 \cdot 1/4I_2$. В настоящей работе обсуждаются особенности ее кристаллического строения и результаты квантово-химических расчетов электронной структуры и свойств.

ЭКСПЕРИМЕНТАЛЬНАЯ ЧАСТЬ

Порошок ванадия (99 %), приобретенный в «СибМеталлТорг» (Россия), предварительно промыт в соляной кислоте, затем в спирте и высушен под динамическим вакуумом. Порошок селена (99.99 %, размер частиц 50 мкм) приобретен в «СибМеталлТорг» (Россия), иод в гранулах (99 %) – в научно-производственном объединении «Йодобром» (Россия). Кристалл $[V_3Se_{12}I_2]I_3 \cdot 1/4I_2$ в виде черной палочки получен при нагревании смеси ванадия, селена, иода и малого количества воды в откаченной запаянной ампуле при 240 °C. При варировании условий синтеза другие кристаллы $[V_3Se_{12}I_2]I_3 \cdot 1/4I_2$ выделены не были.

Монокристальный рентгеноструктурный анализ. Дифракционные данные получены для двойникового кристалла с применением дифрактометра «Bruker D8 Venture» (MoK_α излучение $\lambda = 0.71073$ Å, $Mo I\mu S3.0$ с зеркалами Монтеля, PHOTON III CMOS) путем 0.5° ω- и φ-сканирования при температурах 90, 150 и 250 K (N_2 -потоковый криостат «Cryostream 800»). Редукцию экспериментальных данных выполняли с использованием программного пакета APEX 3 [23] с интегрированием рефлексов от обоих доменов (соотношение $\sim 85/15$, связаны поворотом на 180° вокруг оси c). Введение шкалирующих поправок сделано эмпирически по интенсивностям повторно измеренных и эквивалентных рефлексов, имеющих вклад от основного домена, с помощью TWINABS [23] в модели «сильного поглотителя» (7 и 8 порядков нечетных и четных гармоник соответственно). Структуры расшифрованы в программе SHELXT [24] и уточнены полноматричным методом наименьших квадратов в программе SHELXL [25] с использованием графического интерфейса Olex2 [26]. Положение атомов определялось из карты электронной плотности и уточнялось в анизотропном приближении. Для отнесения пиков остаточной электронной плотности два атома I из независимой части уточнены с расщеплением на две неравнозначные позиции ($I11/I11'$, $I2_1/I2_1'$). Анализ геометрии межмолекулярных контактов проводился с применением Mercury 4.0 и системы ван-дер-ваальсовых радиусов Альвареса [27, 28].

Основные кристаллографические характеристики приведены в табл. 1. Более подробная информация депонирована в Кембриджский банк структурных данных (CCDC) под номерами 2406450, 2406451, 2406452 и может быть получена по адресу: <https://www.ccdc.cam.ac.uk/structures/>.

Квантово-химические расчеты. Расчет энталпии проводили с помощью программного пакета Quantum ESPRESSO 7.1 [29] и псевдопотенциала PAW [30] PBEsol, взятого из PSlibrary [31]. При расчете использован модуль pw.x с оптимизацией геометрии в режиме vc-relax. Структурные данные для простых и бинарных соединений взяты из баз ICSD (№ 67618-ICSD,

Т а б л и ц а 1

Основные кристаллографические параметры $[V_3Se_{12}I_2]I_3 \cdot 1/4I_2$ и детали уточнения структуры

Параметр	Данные		
Брутто-формула	$I_{5.5}Se_{12}V_3$		
Молекулярная масса, г/моль	1798.29		
Температура, К	90(2)	150(2)	250(2)
Пространственная группа, сингония, Z	$P2_1/c$, моноклинная, 8		
$a, b, c, \text{\AA}$	19.1105(7), 13.6743(5), 18.0771(6)	19.1307(9), 13.6983(6), 18.1549(6)	19.1521(11), 13.7268(7), 18.2744(9)
β , град.	90.7680(10)	90.7715(15)	90.577(2)
Объем, \AA^3	4723.5(3)	4757.2(3)	4804.0(4)
$\rho_{\text{расч}}$, г/ см^3	5.057	5.022	4.973
μ , мм^{-1}	26.83	26.64	26.38
Размеры кристалла, мм	$0.04 \times 0.025 \times 0.015$		
Область интегрирования 2θ , град.	3.66 / 61.04	3.66 / 61.06	3.65 / 61.07
Рефлексов измеренных / сильных ($I > 3\sigma(I)$)	94647 / 29793	90305 / 24092	71461 / 15626
$R_{\text{int}} / R_{\sigma}$	0.0590 / 0.0461	0.0585 / 0.0474	0.0590 / 0.0531
Данных всего / с $I > 3\sigma(I)$	14379 / 12634	14510 / 12375	14626 / 385
Уточняемых параметров	379	379	385
GOOF	1.068	1.077	1.045
R_1 / wR_2 для рефлексов с $I > 3\sigma(I)$	0.0307 / 0.0507	0.0326 / 0.0510	0.0371 / 0.0571
R_1 / wR_2 для всех рефлексов	0.0408 / 0.0532	0.0467 / 0.0544	0.0577 / 0.0619
Остаточная электронная плотность (макс. / мин.), е/ \AA^3	1.25 / -1.18	2.19 / -1.64	1.79 / -1.47

200685-ICSD, 260470-ICSD, 48145-ICSD) [32] и CSD (№ CCDC 1885397) [33]. Расчеты выполнялись при $P = 0$ бар, $T = 0$ К. Геометрия, полученная при оптимизации, близка к экспериментальной, сравнение параметров элементарной ячейки и длин связей приведены в табл. 2, а более подробно – в дополнительных материалах (табл. S1, Supplementary Materials*).

Т а б л и ц а 2

Экспериментальные и оптимизированные геометрические параметры для структуры $[V_3Se_{12}I_2]I_3 \cdot 1/4I_2$

Параметр	Экспериментальные данные РСА, полученные при 90 К		Оптимизированные данные (Quantum Espresso)
	1	2	
$a, b, c, \text{\AA}$	19.1105(7), 13.6743(5), 18.0771(6)	18.8777, 13.8363, 18.0076	
β , град.	90.768(1)	90.520	
$V, \text{\AA}^3$	4723.5(3)	4703.6	
V—V короткие, внутри фрагмента $\{V_3Se_8\}$, \AA	2.968(1)–2.983(1), cp. 2.974	2.907–2.924; cp. 2.917	
V—V длинные, между фрагментами $\{V_3Se_8\}$, \AA	3.758(1); 3.746(1)	3.736; 3.752	
V—I фрагмента $\{V_3Se_8\}$, \AA	2.887(1); 2.916(1)	2.891; 2.898	
V—Se мостиковых групп $(Se_2)^2-$, \AA	2.446(1)–2.644(1); cp. 2.559	2.407–2.623; cp. 2.531	

* Supplementary materials для этой статьи доступны для авторизованных пользователей по ссылке doi 10.26902/JSC_id145539.

Окончание табл. 2

1	2	3
V—Se мостиковых групп (Se_2I), Å	2.539(1)–2.647(1),ср. 2.592	2.489–2.615; ср. 2.559
Se—Se мостиковых групп (Se_2) ²⁻ , Å	2.2990(9)–2.3282(9), ср. 2.3064	2.310–2.371; ср. 2.330
Se—Se мостиковых групп (Se_2I), Å	2.369(1); 2.364(1)	2.405; 2.412
Se—I мостиковых групп (Se_2I), Å	2.548(1); 2.571(1)	2.614; 2.645
I—I молекул I_2 , Å	2.692(1); 2.68(4)	2.746

Расчеты зонной структуры проводились в программном комплексе AMS2024 [34]. Определение положений критических точек связывания (bcp), их характеристик и зарядов на атомах выполнено методом QTAIM [35–37] для $[\text{V}_3\text{Se}_{12}\text{I}_2]\text{I}_3 \cdot 1/4\text{I}_2$ с экспериментальными координатами атомов и параметрами решетки. В качестве функционала плотности использовался функционал плотности PBEsol [38, 39], и для всех атомов выбран полноэлектронный базис TZP [40]. Для учета скалярных релятивистских взаимодействий применялся метод ZORA [41]. В табл. S2 (Supplementary Materilas) содержатся характеристики связующих критических точек (bcp), обнаруженных методом QTAIM, для типичных контактов в структуре $[\text{V}_3\text{Se}_{12}\text{I}_2]\text{I}_3 \cdot 1/4\text{I}_2$. В табл. S3 (Supplementary Materilas) представлен список атомов с вычисленными зарядами.

РЕЗУЛЬТАТЫ И ИХ ОБСУЖДЕНИЕ

Один кристалл $[\text{V}_3\text{Se}_{12}\text{I}_2]\text{I}_3 \cdot 1/4\text{I}_2$ в виде небольшой черной палочки, пригодный для РСА, получен в синтезе О-центрированных сelenоиодидов ванадия при 240 °C. В повторных синтезах и при варьировании условий эксперимента кристаллы выделить не удалось.

Кристаллическая структура $[\text{V}_3\text{Se}_{12}\text{I}_2]\text{I}_3 \cdot 1/4\text{I}_2$ представляет собой упаковку цепей $[\text{V}_3\text{Se}_{12}\text{I}_2]^+$, анионов I_3^- и молекул I_2 . В цепи атомы ванадия образуют линейные фрагменты $\{\text{V}_3\text{I}(\text{Se}_2)_4\}$ с расстояниями $\text{V} \cdots \text{V}$ 2.983–2.992 Å (рис. 1). Атомы V связываются между собой мостиковыми диселенидными группами. К одному из атомов ванадия фрагмента V_3 (например, атом слева на рис. 1) координируется терминальный иод с длиной связи $\text{V}—\text{I}$ 2.891–2.918 Å. Фрагменты $\{\text{V}_3\text{I}(\text{Se}_2)_4\}$ соединяются в цепь посредством одной группы (Se_2)²⁻ и трехатомной группы (Se_2I), при этом расстояние $\text{V} \cdots \text{V}$ существенно увеличено до 3.751–3.764 Å. У каждого атома ванадия КЧ 8 и различный состав лигандов. V1: 1 I + 6 Se от (Se_2)²⁻ + 1 Se от (Se_2I); V2: 8 Se от (Se_2)²⁻; V3: 6 Se от (Se_2)²⁻ + 2 Se от (Se_2I). Расстояния $\text{V} \cdots \text{V}$ 2.983–2.992 Å пограничные, и однозначно сделать вывод о наличии связей V—V на их основании сложно. В родственных комплексах ванадия, для которых найдено связывание атомов ванадия, расстояния V—V составили не более 2.90 Å: 2.82 в V_2Se_9 [42], 2.78 в $(\text{NEt}_4)_2\text{V}_2\text{Se}_{13}$ [43], 2.85 в VS_4 [44].

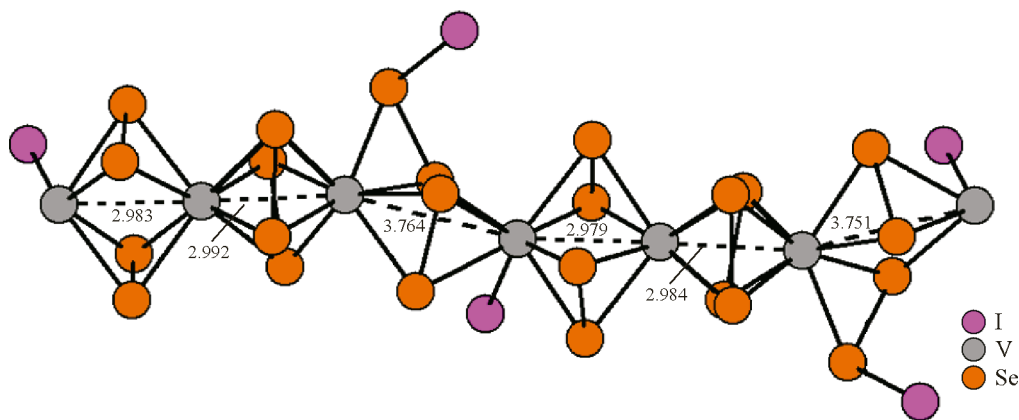


Рис. 1. Строение $[\text{V}_3(\mu_2\text{-Se}_2\text{I})(\mu_2\text{-Se}_2)_5\text{I}]\text{I}_3 \cdot 1/4\text{I}_2$. Соответствующие расстояния $\text{V} \cdots \text{V}$ – в Å

Необычный трехатомный мостиковый лиганд Se—Se—I связывает атомы ванадия по типу $\mu\text{-Se}_2\text{-к}^2\text{,к}^1$, подобно лиганду $(\text{S}_2)^{2-}$ в комплексе $[\{\text{V(O)(S}_2)_2\}_2(\text{S}_4)\{\text{V(O)(S}_2)_2\}_2]^{6-}$ [45]. Его характерная особенность – достаточно короткая связь Se—I (2.54 и 2.57 Å) и удлиненные по сравнению с диселенидной группой связи Se—Se – 2.36–2.37 Å (длины связей Se—Se в лигандах $(\text{Se}_2)^{2-}$ 2.29–2.33, среднее 2.31 Å). В небольшой серии органических соединений с короткими связями Se—I 2.52–2.56 Å самая короткая в 2,4,6-три-*трем*-бутилфенил иодоселениде (2.52 Å) [46] и его аналоге 2,4,6-три-метилфенил иодоселениде (2.54 Å) [47]. Более длинные связи Se—I находятся в соединениях с переносом заряда [48] (в группировке I—Se—I [49]) или в более сложных фрагментах с ковалентными связями, например, Se—I—Se [50].

В структурах «низкоразмерных» халькогалогенидов ниобия и тантала можно найти разные способы координации атомов галогена:

- 1) хлор в известных сelenохлоридах $\text{Nb}_3\text{Se}_{10}\text{Cl}_3$ [51], $\text{Nb}_3\text{Se}_5\text{Cl}_7$ [52] и тиохлориде $\text{Nb}_{24}\text{S}_{95}\text{Cl}_7$ [53], а также бром в сelenобромиде ниобия $\text{Nb}_6\text{Se}_{20}\text{Br}_6$ [54] координированы к металлу;
- 2) бром и иод выступают как противоионы в $(\text{NbSe}_4)_3\text{I}$ и $(M\text{Se}_4)_n\text{Br}$ ($M = \text{Nb}, \text{Ta}$) [55];
- 3) часть атомов иода в сelenоидиде $(\text{Nb}_4\text{Se}_{15}\text{I}_2)\text{I}_2$ [7] координирована к ниобию, а часть присутствует в виде противоионов Γ^- ;
- 4) ситуация, аналогичная структуре $\text{Nb}_4\text{Te}_{17}\text{I}_4$ [56], когда расстояния $\text{Te}\cdots\text{I}$ между цепью $[\text{Nb}_4\text{Te}_{17}]$ и иодид-ионом составляют 3.170 и 3.898 Å, т.е. являются промежуточными между суммой ковалентных (2.69 Å) и ван-дер-ваальсовых (4.25 Å) радиусов.

Отличительная особенность структуры $[\text{V}_3\text{Se}_{12}\text{I}_2]\text{I}_3 \cdot 1/4\text{I}_2$ заключается в том, что иод образует ковалентные связи двух видов – с селеном в лиганде Se_2I и с ванадием, который координирует напрямую. Для теоретического моделирования этой ситуации, т.е. изучения зарядов на атомах и характеристик связей в структуре $[\text{V}_3\text{Se}_{12}\text{I}_2]\text{I}_3 \cdot 1/4\text{I}_2$, мы использовали DFT-расчеты, результаты которых будут обсуждены далее.

Мотив кристаллической упаковки в структуре $[\text{V}_3\text{Se}_{12}\text{I}_2]\text{I}_3 \cdot 1/4\text{I}_2$ представлен на рис. 2.

В структуре $[\text{V}_3\text{Se}_{12}\text{I}_2]\text{I}_3 \cdot 1/4\text{I}_2$ присутствует большое число коротких контактов, которые соответствуют межмолекулярным взаимодействиям. Схема контактов в данном случае выглядит сложно и дополнительно усложняется тем, что в структуре имеет место разупорядочение молекул I_2 . Далее мы обсудим наиболее короткие межмолекулярные контакты в структуре (рис. 3).

Частицы I_3^- и I_2 образуют короткие межмолекулярные контакты с мостиковыми диселенидными группами цепи (Å): $\text{I}^{13}23\cdots\text{Se}^{\text{цепь}}$ (3.350), $\text{I}^{13}31\cdots\text{Se}^{\text{цепь}}$ (3.415), $\text{I}^{13}21\cdots\text{Se}^{\text{цепь}}$ (3.455),

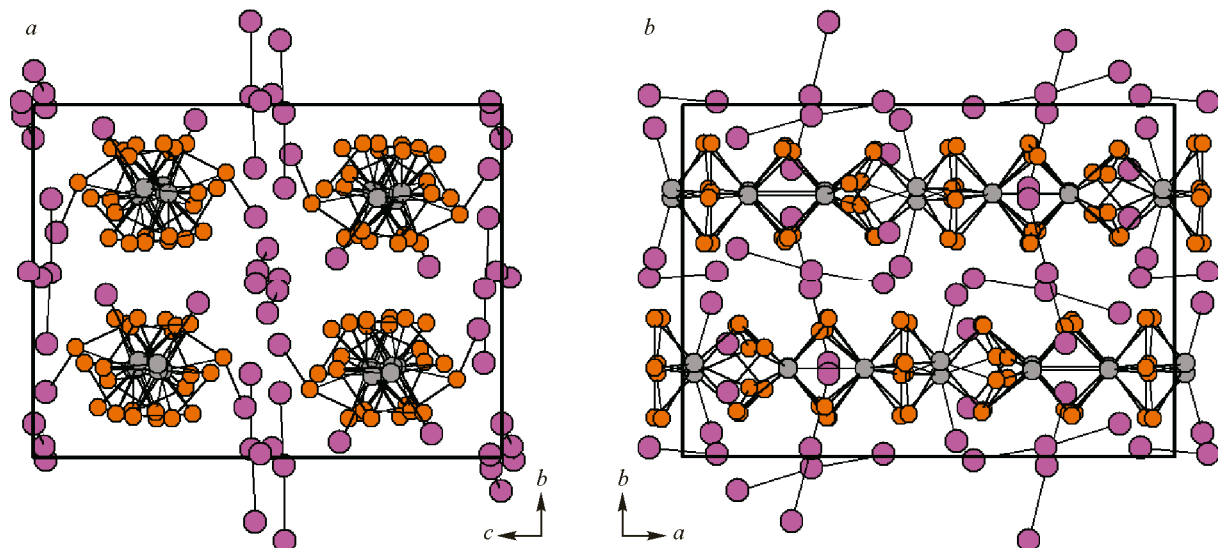
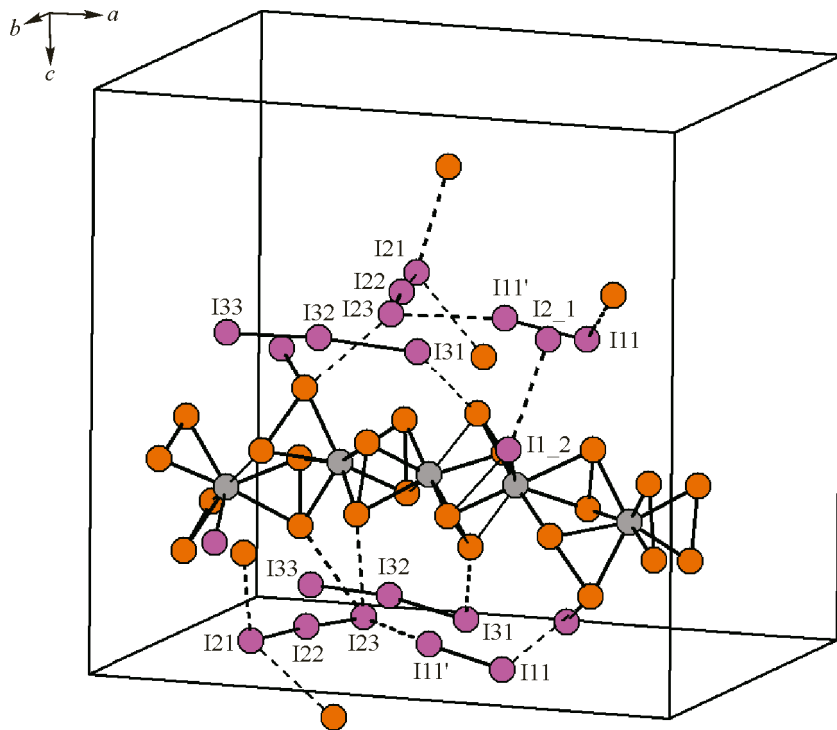


Рис. 2. Кристаллическая ячейка $[\text{V}_3\text{Se}_{12}\text{I}_2]\text{I}_3 \cdot 1/4\text{I}_2$, вид вдоль осей a (a) и c (b). Для молекул I_2 выбрана одна ориентация из возможных

Рис. 3. Межмолекулярные контакты в структуре $[V_3Se_{12}I_2]I_3 \cdot 1/4I_2$

$I^{13}21 \cdots Se^{\text{цепь}}$ (3.467), $I^{13}23 \cdots Se^{\text{цепь}}$ (3.485), $I^{13}23 \cdots Se^{\text{цепь}}$ (3.537) и $I^{12}11 \cdots Se^{\text{цепь}}$ (3.713); для сравнения, сумма ковалентных радиусов иода и селена составляет 2.59 Å [57], ван-дер-ваальсовых – 3.86 Å. Присутствуют также контакты между I_3^- и I_2^+ : $I^{12}11' \cdots I^{13}23$ (3.592 Å) при сумме ван-дер-ваальсовых радиусов 4.08 Å. Кроме того, имеются контакты между I_3^- и терминальным атомом иода цепочки: $I^{13}31 \cdots I^{\text{цепь} 1_2}$ (3.646 Å, не показаны на рисунке) и контакты между соседними цепочками через терминальный атом иода одной цепи и фрагмент Se_2I другой: $I^{\text{цепь} 1 \text{ терм} 1_2 \cdots I^{\text{цепь} 2} Se^{2I} 2_1}$ (3.652 Å). Эти контакты значительно превышают значение двух ковалентных радиусов иода (2.78 Å).

В табл. S2 (Supplementary Materials) приведены характеристики связующих критических точек (bcp), обнаруженных методом QTAIM для характерных контактов. В цепочке между атомами ванадия точки (3, -1) не обнаружены, заряды на атомах ванадия положительные. Следовательно, можно предположить, что в цепочке взаимодействие между атомами ванадия проявляется в виде электростатического отталкивания. Точки (3, -1) обнаружены между атомами ванадия и ближайшими атомами иода, а также между атомами селена на расстояниях от ~2.3 до 2.4 Å и между атомами селена и иода (~2.5 Å). Значения $|V|/G$, свидетельствующие о характере связывания между этими атомами, указывают на то, что соответствующие взаимодействия промежуточные между идеализированным типом замкнутых оболочек ($|V|/G < 1$) и идеализированными ковалентными взаимодействиями ($|V|/G > 2$). В табл. 3 приведены рассчитанные заряды на атомах и плотность заряда для структуры $[V_3Se_{12}I_2]I_3 \cdot 1/4I_2$, а на рис. 4 – фрагмент цепи $[V_3Se_{12}I_2]^+$ с соответствующими именами атомов. Заряды в трехатомном мостиковом лиганде (Se–Se–I) на атомах селена отрицательные, тогда как на атоме иода заряд слабо положительный. Связующие взаимодействия промежуточного типа обнаружены и между атомами иода в группировках I_3^- и I_2^+ , причем I_2^+ тоже имеет отрицательный заряд $-0.22|e|$.

По результатам расчета зонной структуры соединение $[V_3Se_{12}I_2]I_3 \cdot 1/4I_2$ характеризуется энергетической щелью 0.78 эВ.

Таблица 3

Данные топологического анализа электронной плотности в структуре $[V_3Se_{12}I_2]I_3 \cdot 1/4I_2$, полученные методом QTAIM: заряды на атомах q и плотность заряда ρ (а. е.)

Атом (принадлежность к группе атомов)	q	ρ
V1_1 и V1_2 связанные с терминальными атомами иода)	+1.11	Для связей V—I: 0.034; 0.037
V2_1 и V2_2 (вторые атомы ванадия в фрагментах $\{V_3Se_8I\}$)	+1.08; +1.13	—
V3_1 и V3_2 (третий атомы ванадия в фрагментах $\{V_3Se_8I\}$)	+1.15; +1.14	—
Se (мостиковые Se_2^{2-})	От -0.237 до -0.275	0.098
Se61_1 и Se61_2 (в мостиковых Se_2I , не связанные с I)	От -0.263 до -0.276	Для мостиковой группы Se—Se—I: 0.090 (Se—Se) и 0.077 (Se—I)
Se62_1 и Se62_2 (в мостиковых Se_2I , связанные с I)	От -0.0434 до -0.0655	—
I1_1 и I1_2 (координированные к V)	От -0.214 до -0.280	—
I2_1 и I2_2 (в мостиковых Se_2I)	От -0.0112 до -0.0558	—
I (молекулы I_2)	-0.235; -0.0163	0.041
I (ионы I_3^-)	-0.235; -0.0163 (средний атом); -0.174	0.0051 и 0.037

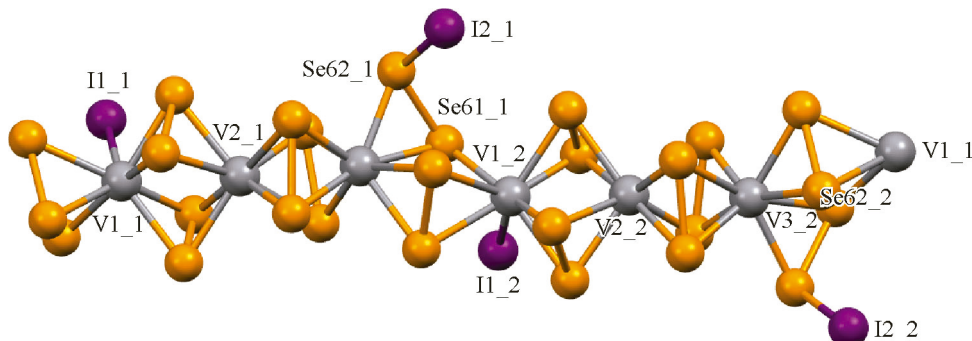
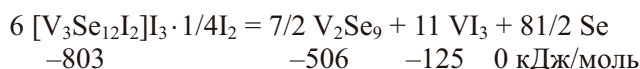


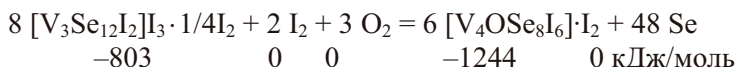
Рис. 4. Фрагмент цепи $[V_3Se_{12}I_2]^+$ в кристаллической структуре $[V_3Se_{12}I_2]I_3 \cdot 1/4I_2$. Показаны атомы ванадия и иода, координированные к атомам ванадия, и атомы мостижковых групп $\{Se—Se—I\}$ между фрагментами $\{V_3Se_8I\}$

Для оценки стабильности $[V_3Se_{12}I_2]I_3 \cdot 1/4I_2$ мы рассчитали его энталпию образования, сравнив с таковой известных бинарных соединений, которые могут формироваться в реакционной смеси. На схеме реакции разложения $[V_3Se_{12}I_2]I_3 \cdot 1/4I_2$ показано, что разложение $[V_3Se_{12}I_2]I_3 \cdot 1/4I_2$ на бинарные соединения будет сопровождаться изменением энталпии ($\Delta H = 1672$ кДж/моль), т.е. являться эндотермическим процессом, идущим с большим поглощением тепла, что говорит в пользу термодинамической стабильности соединения по сравнению с бинарными. Однако приведенный расчет, выполненный при $T = 0$ К, не учитывает изменение энтропии в реакции, которое в данном случае, вероятно, будет значительным.



Соединение $[V_3Se_{12}I_2]I_3 \cdot 1/4I_2$ получено в экспериментах по синтезу О-центрированных тетраядерных комплексов $V_4OSe_8I_x$ [19], поэтому с помощью расчета энталпии можно срав-

нить устойчивость $[V_3Se_{12}I_2]I_3 \cdot 1/4I_2$ по отношению к указанным сelenоидидам ванадия. Представлена реакция перехода $[V_3Se_{12}I_2]I_3 \cdot 1/4I_2$ в $[V_4OSe_8I_6] \cdot I_2$, которая могла бы реализоваться в ампульном синтезе. Изменение энталпии в таком процессе будет составлять $\Delta H = -1040$ кДж/моль, что свидетельствует о термодинамически благоприятном превращении цепочечного $[V_3Se_{12}I_2]I_3 \cdot 1/4I_2$ в молекулярный $[V_4OSe_8I_6] \cdot I_2$. Изменение энталпии в аналогичной реакции, но с формированием $[V_4OSe_8I_5]_\infty$, составляет $\Delta H = -806$ кДж/моль. Эти результаты хорошо согласуются с экспериментальными наблюдениями, при которых мы чаще фиксировали образование кислородсодержащих сelenоидидов, но не $[V_3Se_{12}I_2]I_3 \cdot 1/4I_2$.



ВЫВОДЫ

Изучено кристаллическое строение нового тройного соединения ванадия $[V_3Se_{12}I_2]I_3 \cdot 1/4I_2$. Получение $[V_3Se_{12}I_2]I_3 \cdot 1/4I_2$ затрудняется образованием при этой же температуре кислородсодержащих сelenоидидов, даже в условиях низкого содержания кислорода, которые, согласно DFT-расчету, более термодинамически выгодны. $[V_3Se_{12}I_2]I_3 \cdot 1/4I_2$ имеет интересное строение, напоминающее $Nb_6Se_{20}Br_6$, а в кристаллической структуре, помимо цепи, находятся противоион I_3^- и кристаллизационный I_2 . Мостиковый лиганд $\mu-(Se_2I)$ для кристаллических структур новый и ранее в литературе описан не был. По данным квантово-химического анализа методом QTAIM у взаимодействия во фрагментах Se—Se и Se—I этого лиганда промежуточный характер, и в целом лиганд $\mu-(Se_2I)$ имеет отрицательный заряд при небольшом положительном заряде на I.

Работа выполнена при поддержке Министерства науки и высшего образования Российской Федерации (проекты № 121031700321-3 и 121031700313-8).

Авторы благодарят ЦКП ИНХ СО РАН за возможность получения рентгенодифракционных данных (Министерство науки и высшего образования РФ, № 121031700313-8).

СПИСОК ЛИТЕРАТУРЫ

- V.K. Greenacre, W. Levason, G. Reid, D.E. Smith. Coordination complexes and applications of transition metal sulfide and selenide halides. *Coord. Chem. Rev.*, **2020**, 424, 213512. <https://doi.org/10.1016/j.ccr.2020.213512>
- V.E. Fedorov, A.V. Mishchenko, V.P. Fedin. Cluster transition metal chalcogenide halides. *Russ. Chem. Rev.*, **1985**, 54(4), 408–423. <https://doi.org/10.1070/rcc1985v05n04abeh003064>
- D.A. Rice. The sulphido-, seleno- and telluro-halides of the transition elements. *Coord. Chem. Rev.*, **1978**, 25(3), 199–227. [https://doi.org/10.1016/s0010-8545\(00\)82060-3](https://doi.org/10.1016/s0010-8545(00)82060-3)
- A.L. Gushchin, Y.A. Laricheva, M.N. Sokolov, R. Llasar. Tri- and tetrานuclear molybdenum and tungsten chalcogenide clusters: On the way to new materials and catalysts. *Russ. Chem. Rev.*, **2018**, 87(7), 670–706. <https://doi.org/10.1070/rccr4800>
- M.G. Kanatzidis, S.-P. Huang. Coordination chemistry of heavy polychalcogenide ligands. *Coord. Chem. Rev.*, **1994**, 130(1–2), 509–621. [https://doi.org/10.1016/0010-8545\(94\)80012-x](https://doi.org/10.1016/0010-8545(94)80012-x)
- M.N. Sokolov, V.P. Fedin. Chalcogenide clusters of vanadium, niobium and tantalum. *Coord. Chem. Rev.*, **2004**, 248(11–12), 925–944. <https://doi.org/10.1016/j.ccr.2004.03.021>
- K. Qu, Z.W. Riedel, I. Sánchez-Ramírez, S. Bettler, J. Oh, E.N. Waite, T.J. Woods, N. Mason, P. Abbamonte, F. de Juan, M.G. Vergniory, D.P. Shoemaker. Quasi-one-dimensional transition-metal chalcogenide semiconductor ($Nb_4Se_{15}I_2$) I_2 . *Inorg. Chem.*, **2023**, 62(7), 3067–3074. <https://doi.org/10.1021/acs.inorgchem.2c03796>
- Z.Z. Wang, P. Monceau, M. Renard, P. Gressier, L. Guemas, A. Meerschaut. Charge density transport in a novel halogenated transition metal tetrachalcogenide ($NbSe_4$)_{3.33}I. *Solid State Commun.*, **1983**, 47(6), 439–443. [https://doi.org/10.1016/0038-1098\(83\)91064-5](https://doi.org/10.1016/0038-1098(83)91064-5)
- Z.Z. Wang, M.C. Saint-Lager, P. Monceau, M. Renard, P. Gressier, A. Meerschaut, L. Guemas, J. Rouxel. Charge density wave transport in ($TaSe_4$) I . *Solid State Commun.*, **1983**, 46(4), 325–328. [https://doi.org/10.1016/0038-1098\(83\)90662-2](https://doi.org/10.1016/0038-1098(83)90662-2)
- P. Gressier, M.H. Whangbo, A. Meerschaut, J. Rouxel. Electronic structures of transition-metal tetrachalcogenides (MSe_4) I ($M = Nb, Ta$). *Inorg. Chem.*, **1984**, 23(9), 1221–1228. <https://doi.org/10.1021/ic00177a011>

11. A. Bilušić, A. Smontara, H. Berger. Thermal conductivity minimum of $\text{Nb}_4\text{Te}_{17}\text{I}_4$. *Phys. B Condens. Matter*, **1999**, 263–264, 752–755. [https://doi.org/10.1016/s0921-4526\(98\)01281-2](https://doi.org/10.1016/s0921-4526(98)01281-2)
12. H. Berger, M. Marsi, G. Margaritondo, L. Forro, C. Beeli, C. Crotti, M. Zacchigna, C. Comicioli, C. Astaldi, K. Prince. On the electronic properties of the quasi-one-dimensional crystal. *J. Phys. D. Appl. Phys.*, **1996**, 29(3), 820–822. <https://doi.org/10.1088/0022-3727/29/3/046>
13. Y.V. Mironov, S.S. Yarovoi, D.Y. Naumov, S.G. Kozlova, V.N. Ikorskyy, R.K. Kremer, A. Simon, V.E. Fedorov. $\text{V}_4\text{S}_9\text{Br}_4$: A novel high-spin vanadium cluster thiobromide with square-planar metal core. *J. Phys. Chem. B*, **2005**, 109(50), 23804–23807. <https://doi.org/10.1021/jp053572k>
14. T. Waki, Y. Tomioka, Y. Tabata, A. Kondo, K. Kindo, H. Nakamura. Irreversible phase separation to anti-ferromagnetic and spin-singlet states in the square-planar metal-cluster compound $\text{V}_4\text{S}_9\text{Br}_4$. *J. Phys. Soc. Jpn.*, **2011**, 80(7), 073706. <https://doi.org/10.1143/jpsj.80.073706>
15. S.G. Kozlova, S.P. Gabuda, G.A. Berezovskii, D.P. Pischur, Y.V. Mironov, A. Simon, V.E. Fedorov. Quantum chemical study and low-temperature calorimetry of phase transition in $\text{V}_4\text{S}_9\text{Br}_4$. *J. Solid State Chem.*, **2008**, 181(10), 2877–2881. <https://doi.org/10.1016/j.jssc.2008.07.013>
16. B. Adiperdana, I.A. Dharmawan, R.E. Siregar, I. Watanabe, K. Ohishif, Y. Ishif, T. Suzuki, T. Kawamata, Risdiana, R. Sheuermann, K. Sedlak, Y. Tomioka, T. Waki, Y. Tabata, H. Nakamura. Muon sites estimation in La_2CuO_4 and a new vanadium cluster compound, $\text{V}_4\text{S}_9\text{Br}_4$, using electronic and nuclear dipole field calculations. *Phys. Proc.*, **2012**, 30, 109–112. <https://doi.org/10.1016/j.phpro.2012.04.051>
17. S. Artemkina, R. Galiev, P. Poltarak, V. Komarov, Y. Gayfulin, A. Lavrov, V. Fedorov. Vanadium O-centered selenoiodide complex: Synthesis and structure of $\text{V}_4\text{O}(\text{Se}_2)_4\text{I}_6\text{I}_2$. *Inorg. Chem.*, **2021**, 60(23), 17627–17634. <https://doi.org/10.1021/acs.inorgchem.1c02213>
18. R.R. Galiev, V.Y. Komarov, R.M. Khisamov, A.Y. Ledneva, S.B. Artemkina, V.E. Fedorov. Characterization of the O-centered vanadium selenoiodides $\text{V}_4\text{OSe}_8\text{I}_6\cdot\text{X}$ ($\text{X} = \text{I}_2$, 3,5-dimethylpyrazole). *Inorg. Chim. Acta*, **2023**, 548, 121366. <https://doi.org/10.1016/j.ica.2022.121366>
19. R.R. Galiev, V.Y. Komarov, M.R. Ryzhikov, S.G. Kozlova, V.A. Kuznetsov, E.D. Grayfer, S.B. Artemkina, V.E. Fedorov. Extended chains in vanadium O-centered complex $[\text{V}_4\text{OSe}_8\text{I}_5]_\infty$: Synthesis and structure. *Dalton Trans.*, **2025**, 54(5), 2147–2155. <https://doi.org/10.1039/d4dt02758b>
20. W. Tremel. $\text{Nb}_4\text{OTe}_9\text{I}_4$: A one-dimensional chain compound containing tetranuclear oxygen-centred niobium clusters. *J. Chem. Soc. Chem. Commun.*, **1992**, (9), 709. <https://doi.org/10.1039/c39920000709>
21. D.-P. Huang, C.-C. Huang, S.-X. Liu, H.-D. Xu, J.-L. Huang. An oxygen-centred tetranuclear tantalum cluster: $\text{Ta}_4\text{O}(\text{Te}_2)_4\text{TeI}_4$. *Acta Crystallogr., Sect. C: Cryst. Struct. Commun.*, **1998**, 54(7), 893–895. <https://doi.org/10.1107/s0108270197018593>
22. F. Zhang, H. Yin. First-principles studies of the metal atom dependent physical properties of one-dimensional metal-cluster nanowires $\text{X}_4\text{OTe}_9\text{I}_4$ ($\text{X} = \text{Nb}, \text{Ti}$). *Phys. Rev. B*, **2024**, 109(24), 245404. <https://doi.org/10.1103/physrevb.109.245404>
23. APEX3 Software Suite (APEX3 v.2019.1-0, SAINT v.8.40a, TWINABS v.2012/1). Madison, WI, USA: Bruker Nonius, **2003–2004**; Bruker AXS, **2005–2018**; Bruker Nano, **2019**.
24. G.M. Sheldrick. SHELXT – Integrated space-group and crystal-structure determination. *Acta Crystallogr., Sect. A: Found. Adv.*, **2015**, 71(1), 3–8. <https://doi.org/10.1107/s2053273314026370>
25. G.M. Sheldrick. Crystal structure refinement with SHELXL. *Acta Crystallogr., Sect. C: Struct. Chem.*, **2015**, 71(1), 3–8. <https://doi.org/10.1107/s2053229614024218>
26. O.V. Dolomanov, L.J. Bourhis, R.J. Gildea, J.A.K. Howard, H. Puschmann. OLEX2: A complete structure solution, refinement and analysis program. *J. Appl. Crystallogr.*, **2009**, 42(2), 339–341. <https://doi.org/10.1107/s0021889808042726>
27. C.F. Macrae, I. Sovago, S.J. Cottrell, P.T.A. Galek, P. McCabe, E. Pidcock, M. Platings, G.P. Shields, J.S. Stevens, M. Towler, P.A. Wood. Mercury 4.0: From visualization to analysis, design and prediction. *J. Appl. Crystallogr.*, **2020**, 53(1), 226–235. <https://doi.org/10.1107/s1600576719014092>
28. S. Alvarez. A cartography of the van der Waals territories. *Dalton Trans.*, **2013**, 42(24), 8617. <https://doi.org/10.1039/c3dt50599e>
29. P. Giannozzi, S. Baroni, N. Bonini, M. Calandra, R. Car, C. Cavazzoni, D. Ceresoli, G.L. Chiarotti, M. Cococcioni, I. Dabo, A. Dal Corso, S. de Gironcoli, S. Fabris, G. Fratesi, R. Gebauer, U. Gerstmann, C. Gougoussis, A. Kokalj, M. Lazzeri, L. Martin-Samos, N. Marzari, F. Mauri, R. Mazzarello, S. Paolini, A. Pasquarello, L. Paulatto, C. Sbraccia, S. Scandolo, G. Sclauzero, A.P. Seitsonen, A. Smogunov, P. Umari, R.M. Wentzcovitch. QUANTUM ESPRESSO: A modular and open-source software project for quantum simulations of materials. *J. Phys. Condens. Matter*, **2009**, 21(39), 395502. <https://doi.org/10.1088/0953-8984/21/39/395502>
30. P.E. Blöchl. Projector augmented-wave method. *Phys. Rev. B*, **1994**, 50(24), 17953–17979. <https://doi.org/10.1103/physrevb.50.17953>

31. A. Dal Corso. Pseudopotentials periodic table: From H to Pu. *Comput. Mater. Sci.*, **2014**, *95*, 337–350. <https://doi.org/10.1016/j.commatsci.2014.07.043>
32. D. Zagorac, H. Müller, S. Ruehl, J. Zagorac, S. Rehme. Recent developments in the Inorganic Crystal Structure Database: Theoretical crystal structure data and related features. *J. Appl. Crystallogr.*, **2019**, *52*(5), 918–925. <https://doi.org/10.1107/s160057671900997x>
33. C.R. Groom, I.J. Bruno, M.P. Lightfoot, S.C. Ward. The Cambridge Structural Database. *Acta Crystallogr., Sect. B: Struct. Sci. Cryst. Eng. Mater.*, **2016**, *72*(2), 171–179. <https://doi.org/10.1107/s2052520616003954>
34. BAND 2024. Amsterdam, Netherlands: SCM, Theoretical Chemistry, Vrije Universiteit, **2024**, <http://www.scm.com>.
35. R. Bader. Atoms in Molecules. A Quantum Theory, 1st ed. Oxford, UK: Clarendon Press, **1994**.
36. Y.A. Abramov. On the possibility of kinetic energy density evaluation from the experimental electron-density distribution. *Acta Crystallogr., Sect. A: Found. Crystallogr.*, **1997**, *53*(3), 264–272. <https://doi.org/10.1107/s010876739601495x>
37. E. Espinosa, E. Molins, C. Lecomte. Hydrogen bond strengths revealed by topological analyses of experimentally observed electron densities. *Chem. Phys. Lett.*, **1998**, *285*(3–4), 170–173. [https://doi.org/10.1016/s0009-2614\(98\)00036-0](https://doi.org/10.1016/s0009-2614(98)00036-0)
38. L.A. Constantin, J.P. Perdew, J.M. Pitarke. Exchange-correlation hole of a generalized gradient approximation for solids and surfaces. *Phys. Rev. B*, **2009**, *79*(7), 075126. <https://doi.org/10.1103/physrevb.79.075126>
39. J.P. Perdew, A. Ruzsinszky, G.I. Csonka, O.A. Vydrov, G.E. Scuseria, L.A. Constantin, X. Zhou, K. Burke. Restoring the density-gradient expansion for exchange in solids and surfaces. *Phys. Rev. Lett.*, **2008**, *100*(13), 136406. <https://doi.org/10.1103/physrevlett.100.136406>
40. E. Van Lenthe, E.J. Baerends. Optimized Slater-type basis sets for the elements 1–118. *J. Comput. Chem.*, **2003**, *24*(9), 1142–1156. <https://doi.org/10.1002/jcc.10255>
41. E. van Lenthe, J.G. Snijders, E.J. Baerends. The zero-order regular approximation for relativistic effects: The effect of spin-orbit coupling in closed shell molecules. *J. Chem. Phys.*, **1996**, *105*(15), 6505–6516. <https://doi.org/10.1063/1.472460>
42. W.-G. Lee, S. Chae, Y.K. Chung, W.-S. Yoon, J.-Y. Choi, J. Huh. Indirect-to-direct band gap transition of one-dimensional V_2Se_9 : Theoretical study with dispersion energy correction. *ACS Omega*, **2019**, *4*(19), 18392–18397. <https://doi.org/10.1021/acsomega.9b02655>
43. C.N. Chau, R.W.M. Wardle, J.A. Ibers. Soluble metal selenides. Synthesis and structure of the tridecaselenidodivanadate anion, $V_2Se_{13}^{2-}$. *Inorg. Chem.*, **1987**, *26*(17), 2740–2741. <https://doi.org/10.1021/ic00264a003>
44. M.N. Kozlova, Y.V. Mironov, E.D. Grayfer, A.I. Smolentsev, V.I. Zaikovskii, N.A. Nebogatikova, T.Y. Podlipskaya, V.E. Fedorov. Synthesis, crystal structure, and colloidal dispersions of vanadium tetrasulfide (VS_4). *Chem. – Eur. J.*, **2015**, *21*(12), 4639–4645. <https://doi.org/10.1002/chem.201406428>
45. C. Simonet-Jégat, S. Delalande, S. Hatut, B. Marg, F. Sécheresse. Synthesis and characterization of a novel oxo-disulfidotetravanadate(V) anion with a bridging tetrasulfido ligand $[\{V(O)(S_2)_2\}_2(\mu^2-S_4)\{V(O)(S_2)_2\}]$. *Chem. Commun.*, **1996**, (3), 423–424. <https://doi.org/10.1039/cc9960000423>
46. W. du Mont, S. Kubiniok, K. Peters, H. von Schnering. Synthesis and structure of a stable iodoselenide. *Angew. Chem., Int. Ed. Engl.*, **1987**, *26*(8), 780–781. <https://doi.org/10.1002/anie.198707801>
47. J. Jeske, P.G. Jones, A.M. Salzen, W.-W. du Mont. Mesylselenenyl iodide. *Acta Crystallogr., Sect. E: Struct. Rep. Online*, **2002**, *58*(4), o350–o352. <https://doi.org/10.1107/s1600536802003677>
48. F. Cristiani, F. Demartin, F.A. Devillanova, F. Isaia, V. Lippolis, G. Verani. Charge-transfer complexes of N-methylthiazolidine-2(3H)-selone (**1**) and N-methylbenzothiazole-2(3H)-selone (**2**) with I_2 and IBr : Crystal structures of **1**· I_2 , **1**· $I_{1.25}Br_{0.75}$, **2**· $2I_2$ and **2**· $2IBr$. *Inorg. Chem.*, **1994**, *33*(26), 6315–6324. <https://doi.org/10.1021/ic00104a048>
49. B. Müller, S. Ellrodt, K. Seppelt. Methylselenium triiodide, $[CH_3SeI_2]^{+}\Gamma^{-}$. *Z. Anorg. Allg. Chem.*, **2018**, *644*(22), 1492–1494. <https://doi.org/10.1002/zaac.201800167>
50. E. Seppälä, F. Ruthe, J. Jeske, W.-W. du Mont, P.G. Jones. Coordination and oxidation of phosphine selenides with iodine: From cation pairs $[(R_3PSe)_2I^+]_2$ to (iodoseleno)phosphonium ions $[R_3PSeI]^+$ existing as guests in polyiodide matrices. *Chem. Commun.*, **1999**, (16), 1471–1472. <https://doi.org/10.1039/a903249e>
51. J.-E. Kwak, S.-I. Hahn, H. Yun. A new pseudo-two-dimensional niobium chloride selenide, $Nb_3Se_{10}Cl_3$. *Acta Crystallogr., Sect. E: Struct. Rep. Online*, **2007**, *63*(2), i27–i29. <https://doi.org/10.1107/s1600536806056364>
52. J. Rijnsdorp, F. Jellinek. Preparation, crystal structure, and properties of the mixed-valence compound $Nb_3Se_5C_{17}$. *J. Solid State Chem.*, **1979**, *28*(2), 149–156. [https://doi.org/10.1016/0022-4596\(79\)90067-7](https://doi.org/10.1016/0022-4596(79)90067-7)
53. W. Yoon, J. Kwak, E. Lee, H. Yun. Synthesis and crystal structure of the new one-dimensional ternary niobium sulfide chloride, $Nb_{24}S_{95}Cl_7$. *Bull. Korean Chem. Soc.*, **2017**, *38*(8), 984–987. <https://doi.org/10.1002/bkcs.11206>

54. A. Meerschaut, P. Grenouilleau, J. Rouxel. $\text{Nb}_6\text{Se}_{20}\text{Br}_6$, a pseudo one-dimensional compound with a waved chain structure. *J. Solid State Chem.*, **1986**, *61*(1), 90–97. [https://doi.org/10.1016/0022-4596\(86\)90009-5](https://doi.org/10.1016/0022-4596(86)90009-5)
55. P. Gressier, A. Meerschaut, L. Guemas, J. Rouxel, P. Monceau. Characterization of the new series of quasi one-dimensional compounds $(\text{MX}_4)_n\text{Y}$ ($\text{M} = \text{Nb}, \text{Ta}$; $\text{X} = \text{S}, \text{Se}$; $\text{Y} = \text{Br}, \text{I}$). *J. Solid State Chem.*, **1984**, *51*(2), 141–151. [https://doi.org/10.1016/0022-4596\(84\)90327-x](https://doi.org/10.1016/0022-4596(84)90327-x)
56. W. Tremel. $\text{Nb}_4\text{Te}_{17}\text{I}_4$, a new pseudo one-dimensional solid-state polytelluride. *Chem. Ber.*, **1994**, *127*(1), 11–14. <https://doi.org/10.1002/cber.19941270103>
57. B. Cordero, V. Gómez, A.E. Platero-Prats, M. Revés, J. Echeverría, E. Cremades, F. Barragán, S. Alvarez. Covalent radii revisited. *Dalton Trans.*, **2008**, (21), 2832. <https://doi.org/10.1039/b801115j>